

ACROTYLUS BRAUDI, NOUVELLE ESPECE DE CORSE (FRANCE) (CAELIFERA, ACRIDIDAE, OEDIPODINAE)

Bernard DEFAULT

F 09400 Bédeilhac et Aynat,

bdefault@club-internet.fr

Résumé. L'étude des échantillons d'*Acrotylus* collectés en Corse par Yoan Braud permet de conclure que l'espèce identifiée jusque là comme *Acrotylus insubricus* est en réalité une espèce nouvelle : *Acrotylus braudi* sp. nov. Les critères distinctifs avec l'autre espèce présente en Corse, *Acrotylus patruelis*, sont nombreux ; en particulier, les mâles d'*A. braudi* se distinguent au premier coup d'œil par la tache alaire brune qui est distante du bord postérieur (chez les mâles d'*Acrotylus patruelis* elle est contiguë ou sub-contiguë au bord postérieur). Les différences avec *A. insubricus* portent sur la largeur moindre du vertex (en valeur absolue et relativement à la longueur de l'œil), le plus grand allongement des tegmina en valeur absolue (mais avec un léger chevauchement) et aussi relativement à la longueur du pronotum et relativement à la longueur des fémurs postérieurs, l'étréitesse des fémurs postérieurs, l'étréitesse des tegmina. La ressemblance avec *Acrotylus fischeri*, taxon non encore signalé de Corse, est plus lointaine.

Une clef pour les espèces d'*Acrotylus* présentes en Corse et en France continentale est proposée.

Mots clés. *Acrotylus braudi* sp. n., *Acrotylus patruelis*, *Acrotylus insubricus*, *Acrotylus fischeri*, Corse.

Abstract. The study of the *Acrotylus* samples collected in Corsica by Yoan Braud allows to conclude that the species identified until now as *Acrotylus i. insubricus* is a new species: *Acrotylus braudi* sp. nov.

The diagnosis criteria separating this new species from the only other species present in Corsica, *Acrotylus patruelis*, are numerous; in particular, the males of *A. braudi* are immediately recognizable by the brown mark on the hind wing which is more distant from the edge. It differs from *Acrotylus i. insubricus* by the minor width of vertex (in absolute, and in relation with eye's length), by the larger extension of the tegmina (in absolute and in relation to pronotum's length and to hind femur's length), and by the narrowness of hind femurs and of tegmina. The new species is more distantly related to *Acrotylus fischeri*.

A key for the *Acrotylus* species present in Corsica and continental France is provided.

Key words. *Acrotylus braudi* sp. n., *Acrotylus patruelis*, *Acrotylus insubricus*, *Acrotylus fischeri*, Corsica.

INTRODUCTION

Dans la littérature (notamment CHOPARD 1952, SCHMIDT & LILGE 1997, BRAUD & *alii* 2002) deux espèces d'*Acrotylus* sont signalées en Corse : *Acrotylus patruelis* (Herrich-Schaeffer, 1838) et *Acrotylus insubricus* (Scopoli, 1786).

BRAUD & *alii* précisent à ce sujet que *Acrotylus patruelis* est « commune en Corse » ; elle est surtout présente « dans la zone littorale et les étages thermo-méditerranéen et mésoméditerranéen inférieur », mais elle a été récoltée aussi en altitude en Corse du Sud, « au col de Bavella (1040 m) ». Selon ces auteurs l'autre espèce, *Acrotylus insubricus*, est « beaucoup plus rare » ; et en effet, ils ne l'indiquent que de Monacia-d'Aullène (Corse du Sud), mais avec aussi deux stations anciennes en Haute-Corse (voir la carte page 15).

Cependant, en comparant les échantillons attribuables, a priori, à *Acrotylus insubricus* que Yoann Braud a collectés (seul, ou en compagnie d'Eric Sardet) aux exemplaires de France continentale, je me suis rendu compte que, malgré une indéniable parenté d'habitus,

c'est en réalité une espèce nouvelle qui est présente en Corse : *Acrotylus braudi* sp. n.

DESCRIPTION

Dérivation du nom. Je nomme cette nouvelle espèce en hommage à mon ami Yoan Braud, qui a récolté une partie de la série type, dont l'holotype.

Localité type. Bonifacio (Corse-du-Sud), lieudit *Stencia*.

Série type. Elle comprend dix mâles et une femelle : le mâle holotype et trois mâles paratypes récoltés par Y. Braud le 30 IV 2004 à Bonifacio (Corse-du-Sud), au lieudit *Stencia*. Un mâle paratype récolté par Y. Braud le 22 VI 2003 à Borgo (Haute-Corse), entre *Musso* et *la Maranne*, N 42.57837°, E 9.511°, 09 m. Un mâle paratype récolté par E. Sardet le 29 IX 2001 à Borgo (Haute-Corse), lieudit *Pinetu-Plage*, 02 m. Quatre mâles paratypes et la femelle allotype récoltés par Y. Braud & E. Sardet le 21 IX 2001 à Monacia-d'Aullène (Corse-du-Sud), entre *Roccapina* et *Tour d'Olmata*, N 41.4888°, E 8.9763°, 08 m.

Le mâle holotype et la femelle allotype seront déposés au laboratoire d'entomologie du MNHN, à Paris (France). Deux mâles paratypes (Bonifacio et Monacia-d'Aullène) sont dans ma propre collection. Les autres exemplaires appartiennent à la collection BRAUD.

1. Mâle holotype.

L'exemplaire est complet et en bon état, mais la patte arrière gauche a été recollée. L'aile et le tegmen droits sont étalés.

Tête. Face superficiellement ponctuée. Dessus de la tête assez globuleux. Front faiblement oblique ; côte frontale profondément sillonnée, à bords divergeant vers le bas, excepté au niveau de l'ocelle médian où ils sont parallèles. Vertex étroit, allongé, bordé de carènes bien saillantes, se rapprochant en direction de l'avant ; pas de carène médiane. Fovéoles temporales triangulaires, peu enfoncées, bordées par une carène supérieure et inférieurement (mais pas du côté de l'œil). Yeux globuleux.

Disque du pronotum. Nettement cintré au milieu ; pas de carènes latérales, mais le disque est soulevé de chaque côté en un bourrelet ridé. Prozone avec une carène médiane peu saillante, et à gibbosités peu accentuées ; bord antérieur faiblement arrondi. Métazone à peine rugueuse, exceptée la présence de quelques saillies près du bord postérieur ; carène médiane assez saillante (mais atténuée en approchant du bord postérieur). Sillon typique bien marqué, interrompant la carène médiane ; bord postérieur arrondi.

Paranotum. Prozone lisse, sauf sur le tiers inférieur, qui est légèrement ridé-ponctué ; une callosité jaune vif sur fond noir, vers le milieu. Métazone un peu rugueuse. Angle inféro-postérieur du paranotum arrondi.

Espace mésosternal fortement transverse.

Epipecte de contour approximativement hexagonal. La partie basale est séparée de la partie distale, qui est déprimée, par une ride arrondie (à concavité tournée vers l'arrière) ; dans la partie basale, un sillon longitudinal peu profond, assez large.

Plaque sous-génitale courtement conique, arrondie à l'apex.

Cerques coniques ; apex arrondi.

Face interne des **fémurs postérieurs** noire, avec deux taches blanchâtres, dont une contre le genou, l'autre un peu avant. Face externe marbrée de blanchâtre, de brun et de noir. Dessus blanchâtre, avec trois petites taches noirâtres.

Tibias postérieurs brunâtres. Epines brunâtres à la base, noires à l'apex ; il y a 8 épines (tibia droit) ou 7 (tibia gauche) au bord externe, 11 au bord interne.

Tarses. Arolium très court (n'atteignant pas le milieu des griffes) et étroit.

Tegmina bruns avec quelques taches claires dans la moitié basale, sub-hyalins avec quelques macules brunes dans la moitié distale. Nervure intercalée du champ médian oblique, un peu sinuose ; plus proche de la nervure Cu à la base, de la nervure M à l'apex ; elle est faiblement mais nettement serrulée : on compte 10,5 denticules sur 0,25 mm vers le milieu de la nervure.

Ailes postérieures rouges avant la fascie brune, hyalines au-delà ; la fascie brune s'étend de la nervure An1 (et même presque de la nervure divisoire) jusqu'à la nervure An11, voire An12. Le premier lobule apical

porte une macule brune nette ; le second n'est que vaguement taché.

Dimensions ; comparaison avec les autres exemplaires de la série type. Voir le tableau 1.

2. Femelle allotype.

Curieusement, un seul des individus femelles d'*Acrotylus* récoltés en Corse par Braud / Sardet est attribuable avec certitude à cette nouvelle espèce.

L'exemplaire est en bon état, sauf qu'il manque la patte arrière droite. L'aile et le tegmen droits sont étalés.

Tête. Comme chez le mâle holotype.

Disque du pronotum. Comme chez le mâle holotype. Les pseudo carènes latérales sont moins marquées, la carène médiane est un peu plus élevée dans la prozone

Paranotum et Espace mésosternal. Comme chez le mâle holotype.

Epipecte de contour pentagonal.

Cerques en cônes courts, arrondis à l'apex.

Ovipositeur court ; valves bordées de noir.

Fémurs postérieurs comme chez le mâle holotype.. Face externe blanchâtre, avec quelques macules noirs près du bord inférieur.

Tibias postérieurs blanchâtres. Epines noires ; il y a 8 épines au bord externe et 10 au bord interne (patte droite).

Tarses. Arolium comme chez le mâle holotype, mais l'arolium du tarse postérieur est élargi vers l'apex.

Tegmina. Moitié basale blanchâtre à jaunâtre, avec de nombreuses macules brun sombre ou noirâtres entre le bord antérieur et la nervure Cu1, Moitié apicale sub-hyaline avec quelques macules brunes. Nervure intercalée du champ médian oblique, à peu près droite, contiguë à la nervure Cu1 à la base, rapprochée de la nervure M à l'apex ; elle est lisse.

Ailes postérieures colorées comme chez le mâle holotype ; la fascie brune s'étend de la nervure divisoire jusqu'à la nervure An12. Seul le premier lobule apical porte une macule brune.

Dimensions. Voir le tableau 3.

COMMENTAIRES

1. Comparaison avec les exemplaires français d'*Acrotylus patruelis* (H.-S.).

Mâles (tableau 2). La comparaison porte sur les 10 exemplaires de la série type d'*A. braudi* et 12 exemplaires d'*A. patruelis* récoltés en Corse par Y. Braud. Les différences sont nombreuses avec *A. patruelis*, qui est l'unique autre espèce connue en Corse à ce jour :

Dimensions. L'œil est plus court chez *A. braudi* alors que la largeur du vertex est à peu près identique ; cela entraîne un rapport œil / vertex moins élevé (2,00 à 2,20, contre 2,20 à 2,55 chez *A. patruelis*). Les fémurs postérieurs sont proportionnellement plus larges (le rapport longueur / largeur maximale varie de 3,65 à 3,95, contre 4,00 à 4,45 chez *A. patruelis*) (comparer les figures 1b et 1c). Les tegmina tendent à être plus courts, ce qui fait que le rapport tegmen / fémur

postérieur est plus bas (1,70 à 1,90, contre 1,90 à 2,10 chez *A. patruelis*), et que l'écart séparant l'apex des fémurs postérieurs de l'apex des tegmina est plus court (3,80 à 5,00, contre 5,10 à 6,70), tandis que, inversement, le rapport longueur du fémur postérieur / écart précédent est plus élevé (1,85 à 2,75, contre 1,30 à 1,75 chez *A. patruelis*). Enfin les tegmina sont proportionnellement plus larges (rapport longueur / largeur du tegmen # 6,25 à 7,05, contre # 6,95 à 7,95).

Coloration. La face interne des fémurs postérieurs est noire avec 2 taches claires (contre brunâtre avec 2 taches plus claires, ou bien jaunâtre avec 2 taches brunes). La tache alaire brune atteint au maximum la 12^e nervure anale (au minimum la 13^e chez *A. patruelis*). Cette tache alaire reste toujours distante du bord postérieur (elle est contiguë ou sub-contiguë au bord postérieur chez l'autre espèce). Il n'y a que 1 ou 2 lobules tachés à l'apex de l'aile (contre 3 à 5).

Femelle (tableau 3). Comparaison établie avec 22 exemplaires d'*A. patruelis* récoltés en Corse par Y. Braud et/ou Eric Sardet.

La caractérisation de la femelle est incomplète puisqu'elle ne s'appuie que sur un seul individu.

Dimensions. L'unique exemplaire d'*A. braudi* se différencie des 10 exemplaires d'*A. patruelis* sur certains des paramètres ci-dessus : l'œil est plus court, le rapport œil / vertex est moins élevé, l'écart séparant l'apex des fémurs postérieurs de l'apex des tegmina est plus court, le rapport longueur du fémur postérieur / écart précédent est plus élevé, le rapport longueur / largeur du tegmen est plus faible.

Cependant, le rapport longueur / largeur des fémurs postérieurs plus large (figures 2b et 2c) et le rapport tegmen / fémur postérieur plus court sont à confirmer, car les valeurs chez *A. braudi* sont proches des valeurs inférieures notées chez *A. patruelis* (respectivement : 3,95 contre 3,93 à 4,26, et 1,84 contre 1,86 à 2,43).

Coloration. On note les mêmes différences que pour les mâles dans la coloration de face interne des fémurs postérieurs et l'extension de la bande anale alaire. Par contre cette bande alaire est aussi distante du bord postérieur chez les femelles d'*A. patruelis* femelle que chez celles d'*A. braudi* (il en va de même d'ailleurs avec mes exemplaires maghrébins d'*A. patruelis*).

La station de Monacia-d'Aullène contient les deux espèces : quatre mâles et la femelle ci-dessus pour *A. braudi*, et deux mâles et 1 femelle pour *A. patruelis*. Mais une autre femelle, récoltée le même jour, présente des caractères mixtes (tableau 3) ; peut-être correspond-elle à un hybride entre les deux espèces.

Discussion. Les différences relevées tiennent donc à des valeurs absolues d'organes et surtout à des valeurs relatives (en relation avec le raccourcissement de l'œil, le raccourcissement des tegmina, l'élargissement des fémurs postérieurs), ainsi qu'à des particularités de coloration. Tous ces paramètres sont par nature indépendants les uns des autres, et *A. braudi* apparaît donc fortement individualisé par rapport à *A. patruelis*.

Les diagrammes de dispersion établis pour des valeurs significatives chez les mâles (figures 4 à 6) traduisent cette forte individualisation.

2. Comparaison avec les exemplaires français d'*Acrotylus insubricus* (Scopoli).

Mâles (tableau 2). Comparaison établie entre la série type d'*A. braudi* et 22 exemplaires d'*A. insubricus* de France continentale (cf. DEFAUT, 2004 : 31). A première vue, *Acrotylus braudi* ressemble à *Acrotylus insubricus*, espèce avec laquelle elle avait d'ailleurs été confondue jusque là. Les différences sont cependant nettes :

Dimensions. Le vertex est plus étroit en valeur absolue (0,65 à 0,75, contre 0,75 à 0,90 chez *A. insubricus*), alors que la longueur de l'œil est presque identique ; à cause de cela le rapport œil / vertex est plus élevé (2,00 à 2,20, contre 1,60 à 1,90). Les fémurs postérieurs sont proportionnellement plus étroits (le rapport longueur / largeur maximale du fémur postérieur varie de 3,65 à 3,95, contre 3,25 à 3,55) (figures 1b et 1a) ; le rapport longueur du tegmen / largeur maxi du fémur varie de 6,30 à 7,40, contre 5,05 à 6,00 ; le rapport longueur du fémur moyen / largeur maxi du fémur postérieur varie de 1,40 à 1,60, contre 1,25 à 1,35). Les tegmina tendent à être plus longs en valeur absolue (15,30 à 18,20, contre 13,40 à 16,00), ce qui fait que le rapport tegmen / fémur postérieur est plus élevé (1,70 à 1,90, contre 1,55 à 1,75), de même que le rapport tegmen / pronotum (6,25 à 7,50, contre 5,10 à 6,20). Enfin les tegmina tendent à être proportionnellement plus étroits (rapport longueur / largeur # 6,25 à # 7,05, contre # 5,41 à # 6,64).

Femelle (tableau 3). Comparaison établie avec 27 exemplaires d'*A. insubricus* de France continentale (cf. DEFAUT, 2004 : 35).

Comme pour les mâles, le vertex est plus étroit en valeur absolue et relativement à la longueur de l'œil, le fémur postérieur est plus étroit relativement à sa longueur (figures 2b et 2a), comme à celle du tegmen et comme à celle du fémur moyen ; le tegmen est plus allongé en valeur absolue, et relativement à la longueur du fémur postérieur comme à celle du pronotum.

Discussion. Là encore les paramètres en cause sont indépendants les uns des autres. On peut en conclure qu'en dépit d'une ressemblance superficielle, *A. braudi* est fortement caractérisé par rapport à *A. insubricus*. Les diagrammes de dispersion établis pour les mâles confirment (figures 4 à 6).

3. Comparaison avec les exemplaires français d'*Acrotylus fischeri* Azam.

La parenté avec *Acrotylus fischeri* est encore moindre qu'avec *Acrotylus insubricus*.

Mâles (tableau 2). La comparaison est établie entre la série type d'*A. braudi* et 07 exemplaires d'*A. fischeri* de France continentale (cf. DEFAUT, 2004 : 30) auxquels s'ajoutent 13 exemplaires de la collection BRAUD (et même 35 pour la longueur des fémurs postérieurs et des tegmina).

Dimensions. On retrouve des différences déjà relevées avec *A. insubricus*. Ainsi, les tegmina sont plus longs en valeur absolue (15,30 à 18,20, contre 12,40 à 15,60), ce qui fait que le rapport tegmen / fémur postérieur est plus élevé (1,70 à 1,90, contre 1,40 à 1,60), de même que le rapport tegmen / pronotum (6,25 à 7,50, contre 4,40 à 5,65). Les fémurs postérieurs sont proportionnellement plus étroits (le rapport longueur / largeur maximale du fémur postérieur varie de 3,65 à

3,95, contre 3,15 à 3,60 ; le rapport longueur du tegmen / largeur maxi du fémur varie de 6,30 à 7,40, contre 4,55 à 5,65 ; le rapport longueur du fémur moyen / largeur maxi du fémur postérieur varie de 1,40 à 1,60, contre 1,15 à 1,35).

Par ailleurs l'écart entre l'apex des fémurs postérieurs et l'apex des tegmina est nettement supérieur (3,80 à 5,00, contre 2,20 à 2,50) ; en relation avec cela, deux autres indices obtiennent des valeurs sensiblement plus basses : rapport entre la longueur des tegmina et l'écart en question (3,50 à 4,60, contre 5,65 à 6,15), et rapport entre la longueur des fémurs postérieurs et le même écart (1,85 à 2,75, contre 3,70 à 4,15).

Femelle (tableau 3). Comparaison établie avec 22 exemplaires d'*A. fischeri* de France continentale (cf. DEFAUT, 2004 : 33).

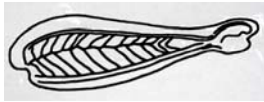
On fait exactement les mêmes observations avec la femelle d'*A. braudi* ; seules les valeurs changent.

Conclusions.

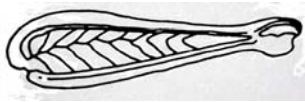
Acrotylus braudi, *Acrotylus patruelis* et le groupe *Acrotylus insubricus* / *A. fischeri* forment trois entités taxonomiques nettement individualisées par au moins 3 paramètres à forte valeur discriminante : 1) le rapport longueur de l'œil / largeur du vertex, 2) le rapport longueur / largeur du fémur postérieur, 3) le rapport longueur / largeur du tegmen (cependant les valeurs exactes restent à préciser, comme déjà dit).

Au contraire on ne peut guère distinguer *Acrotylus fischeri* d'*Acrotylus insubricus* que par le raccourcissement des tegmina (DEFAUT, 2004 ; et voir ici la figure 6). Cela poserait un sérieux problème taxonomique si SANTOS & PRESA (1982) n'avaient relevé des différences au niveau du caryotype.

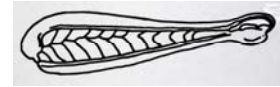
Il faudrait s'assurer de l'identité du taxon signalé en Sardaigne sous le nom d'*A. insubricus* par SCHMIDT & LILGE (1997).



a. *Acrotylus insubricus*
Cogolin (83),
B. D. réc. 2002



b. *Acrotylus braudi*
Monacia-d'Aullène (20),
BRAUD & SARDET réc. 2001

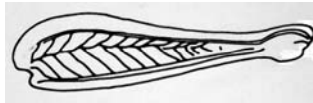


c. *Acrotylus patruelis*
Monacia-d'Aullène (20),
BRAUD & SARDET réc. 2001

Figure 1 : fémurs postérieurs des mâles



a. *Acrotylus insubricus*
Châteaudouble (83),
B. D. réc. 2002



b. *Acrotylus braudi*
Monacia-d'Aullène (20),
BRAUD & SARDET réc. 2001



c. *Acrotylus patruelis*
Monacia-d'Aullène (20),
BRAUD & SARDET réc. 2001

Figure 2 : fémurs postérieurs des femelles



a. mâle holotype
Bonifacio (20), BRAUD réc. 2004



b. femelle allotype
Monacia-d'Aullène (20), BRAUD & SARDET réc. 2001

Figure 3 : habitus d'*Acrotylus braudi*

Figure 4 - Diagramme de dispersion oeil/vertex - F/f

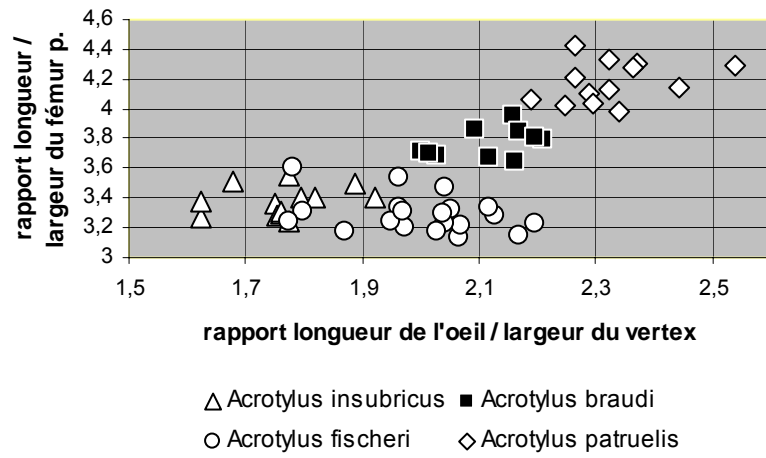


Figure 5 - Diagramme de dispersion œil/vertex - E/F

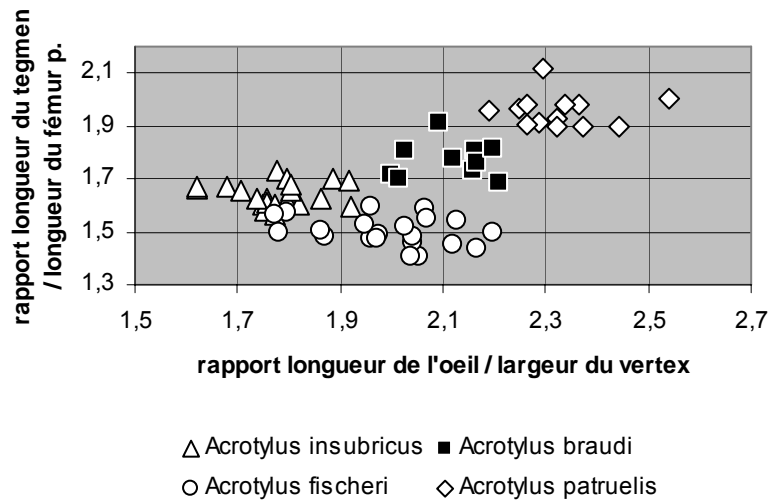
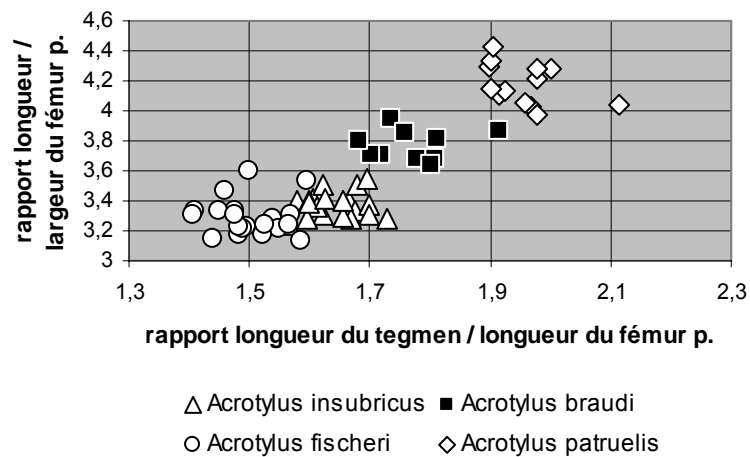


Figure 6 - Diagramme de dispersion E/f - F/f



CLE DES ESPECES D'ACROTYLUS PRESENTES SUR LE TERRITOIRE FRANÇAIS

- 1 (6)** Bande sombre des ailes **atteignant au mieux la 12^e nervure anale** ; elle est plus étroite et plus distante du bord postérieur (DEFAUT 2004 : figures 4 à 5). Ecart entre l'apex des tegmina et l'apex des genoux postérieurs **plus court** : $\leq 5,0$ mm chez le mâle, $\leq 5,6$ mm chez la femelle. Rapport tegmina / fémurs postérieurs $\leq 1,90$ chez le mâle. Rapport entre œil / vertex $\leq 2,20$ chez le ♂, $< 2,00$ chez la ♀. Arolium des tarsi n'atteignant pas le milieu des griffes.
- 2 (5)** Fémurs postérieurs **plus ramassés** (figures 1a et 2a) : rapport entre longueur et largeur $\leq 3,60$ chez le ♂, $\leq 3,70$ chez la ♀. Tegmen proportionnellement plus courts : rapport tegmen / fémur postérieur $\leq 1,70$ chez le ♂, $\leq 1,75$ chez la ♀, rapport tegmen / pronotum $\leq 6,00$ (♂ et ♀). Taxons de France continentale.
- 3 (4)** Ecart entre l'apex des tegmina et l'apex des genoux postérieurs plus court : $\leq 2,5$ mm chez le mâle et $\leq 3,7$ mm chez la femelle. Rapport entre longueur des tegmina et longueur des fémurs postérieurs plus petit : $\leq 1,60$ chez le mâle et la femelle. Bord postérieur du pronotum **anguleux** (figure 1a) ou **sub-anguleux** (DEFAUT 2004 : figure 1b), (exceptionnellement sub-arrondi ou arrondi). Prozone du pronotum assez souvent fortement gibbeuse. Départements méditerranéens (sauf la Corse), Ain (!), Charente Maritime (!) et peut-être Gironde (KRUSEMAN 1982 : Cap-Ferret. A vérifier). 1. *fischeri* Azam, 1901.
- 4 (3)** Ecart entre l'apex des tegmina et l'apex des genoux postérieurs plus grand : $\geq 2,6$ mm chez le mâle, $\geq 3,7$ mm chez la femelle. Rapport tegmen / fémur postérieur plus grand : $\geq 1,55$ chez le mâle, $\geq 1,60$ chez la femelle. La plupart du temps chez les femelles, et très souvent chez les mâles, le bord postérieur du pronotum est **arrondi** (figure 2a) ou **sub-arrondi** ; mais attention : il peut être aussi sub-anguleux à anguleux (DEFAUT 2004 : figure 2b). Départements méditerranéens (sauf la Corse), Aveyron (!), Charente Maritime (!) et Gironde (selon KRUSEMAN 1982). 2. *insubricus insubricus* (Scopoli, 1786).
- 5 (2)** Fémurs postérieurs **plus élancés** (figures 1b et 2b) : rapport entre longueur et largeur $\geq 3,65$ chez le ♂, $= 3,95$ chez la ♀. Tegmina proportionnellement plus allongés : rapport tegmen / fémur postérieur $\geq 1,70$ chez le ♂, $= 1,85$ chez la ♀, rapport tegmen / pronotum $> 6,20$ (♂ et ♀). Espèce de Corse. 3. *braudi* sp. nov..
- 6 (1)** Bande sombre des ailes **dépassant la 12^e nervure anale** ; elle est plus large et s'approche davantage du bord postérieur (surtout **chez le mâle, chez qui elle est contiguë au bord postérieur**, ou presque) (DEFAUT 2004 : figure 6). Ecart entre l'apex des tegmina et l'apex des genoux postérieurs **plus long** : ≥ 5 mm chez le mâle, $\geq 6,5$ mm chez la femelle. Rapport tegmen / fémur postérieur $\geq 1,90$ chez le mâle. Fémurs postérieurs plus élancés (figures 1c et 2c). Rapport œil / vertex $\geq 2,20$ chez le ♂, $\geq 2,00$ chez la ♀. Arolium des tarsi dépassant souvent le milieu des griffes. Var (KRUSEMAN, 1982 : Roquebrune, *Clos-Oswald*) et Corse. 4. *patruelis* (Herrich-Schaeffer, 1838).

Tableau 1. Dimensions des mâles d'*Acrotylus braudi*.

	holotype	série type (les 10 individus)
corps mesuré à l'apex de l'abdomen (sec)	15,30	14,40-17,10
corps mesuré à l'apex des fémurs postérieurs	15,90	14,90-17,90
corps mesuré à l'apex des tegmina	20,50	19,10-22,20
écart fémur postérieur - tegmen	4,60	3,80-5,00
longueur des yeux	1,47	1,34-1,59
longueur du sillon sous-oculaire	1,05	0,95-1,22
largeur du vertex	0,68	0,64-0,74
pronotum	2,48	2,12-2,81
prozone	1,13	0,88-1,16
métazone	1,35	1,24-1,68
longueur des tegmina	16,50	15,30-18,20
largeur des tegmina à l'apex du champ M	# 2,60	# 2,24 à # 2,81
longueur des fémurs postérieurs	9,15	8,30-10,40
largeur maximale des fémurs postérieurs	2,51	2,15-2,74
longueur des fémurs moyens	3,55	3,23-3,90
extension anale de la bande alaire	An1-An10	An1/2-An8/12
nombre de lobules alaires tachés	1 (presque 2)	1-2
rapport tegmen / (écart fémur p. – tegmen)	3,59	3,52-4,61
rapport fémur p. / (écart fémur p. – tegmen)	1,99	1,84-2,74
rapport œil / sillon sous-oculaire	1,40	1,30-1,52
rapport œil / vertex	2,16	2,00-2,21
rapport métazone prozone	1,19	1,18-1,54
rapport longueur / largeur du tegmen	# 6,35	# 6,23-# 7,05
rapport tegmen / longueur du fémur postérieur	1,80	1,68-1,92
rapport tegmen / largeur du fémur postérieur	6,57	6,30-7,40
rapport longueur fémur p. / largeur fémur p.	3,65	3,65-3,95
rapport tegmen / pronotum	6,65	6,23-7,50
rapport longueur fémur p. / longueur fémur moyen	2,58	2,41-2,70
rapport longueur fémur moyen / largeur fémur p.	1,41	1,38-1,60

Tableau 2. Comparaison biométrique des exemplaires français mâles d'*Acrotylus*.

	<i>fischeri</i> (20 individus)	<i>insubricus</i> (22 individus)	<i>braudi</i> (10 individus)	<i>patruelis</i> (12 individus)
corps mesuré à l'apex de l'abdomen (sec)	12,70-15,40	13,50-16,50	14,40-17,10	16,00-19,60
corps mesuré à l'apex des fémurs postérieurs	14,00-16,90	13,90-18,30	14,90-17,90	16,20-18,40
corps mesuré à l'apex des tegmina	16,20-19,00	17,30-21,10	19,10-22,20	21,30-24,60
écart fémur postérieur – tegmen	1,50-2,50	2,60-4,30	3,80-5,00	5,10-6,70
longueur des yeux	1,34-1,61	1,33-1,56	1,34-1,59	1,46-1,66
longueur du sillon sous-oculaire	1,02-1,27	0,98-1,27	0,95-1,22	0,88-1,05
largeur du vertex	0,68-0,81	0,73-0,90	0,64-0,74	0,65-0,71
Pronotum	2,57-3,13	2,38-2,97	2,12-2,81	2,39-2,81
Prozone	1,05-1,30	0,98-1,25	0,88-1,16	0,95-1,12
Métazone	1,52-1,83	1,40-1,77	1,24-1,68	1,44-1,72
longueur des tegmina	12,40-15,60	13,40-16,00	15,30-18,20	17,50-20,40
largeur des tegmina à l'apex du champ M	# 2,24-# 2,83	# 2,08-# 2,85	# 2,24-# 2,81	# 2,34-# 2,67
longueur des fémurs postérieurs	8,40-10,10	8,10-10,00	8,30-10,40	8,80-10,20
largeur maximale des fémurs postérieurs	2,54-3,11	2,31-2,94	2,15-2,74	2,11-2,41
longueur des fémurs moyens	3,14-3,75	3,10-3,80	3,23-3,90	3,55-3,95
extension anale de la bande alaire	Ndiv/An2- An9/11	Ndiv/An2- An8/12	An1/2- An8/12	An1/2- An13/15
nombre de lobules alaires tachés	1-4	1-3	1-2	3-5
rapport tegmen / (écart fémur p. – tegmen)	5,42-9,47	3,53-5,70	3,52-4,61	2,78-3,43
rapport fémur p. / (écart fémur p. – tegmen)	3,56-6,73	2,21-3,56	1,84-2,74	1,31-1,76
rapport œil / sillon sous-oculaire	1,24-1,46	1,19-1,49	1,30-1,52	1,47-1,85
rapport œil / vertex	1,78-2,20	1,62-1,92	2,00-2,21	2,19-2,54
rapport métazone / prozone	1,28-1,58	1,36-1,60	1,18-1,54	1,37-1,75
rapport longueur / largeur du tegmen	# 5,02-6,02	# 5,41-# 6,64	# 6,23-# 7,05	# 6,93-# 7,94
rapport tegmen / longueur du fémur postérieur	1,41-1,60	1,57-1,73	1,68-1,92	1,90-2,11
rapport tegmen / largeur du fémur postérieur	4,53-5,64	5,07-6,02	6,30-7,40	7,85-8,57
rapport longueur fémur p. / largeur fémur p.	3,13-3,60	3,24-3,55	3,65-3,95	4,03-4,43
rapport tegmen / pronotum	4,42-5,64	5,12-5,96	6,23-7,50	6,67-7,50
rapport longueur fémur p. / longueur fémur moyen	2,58-2,83	2,51-2,72	2,41-2,70	2,40-2,62
rapport longueur fémur moyen / largeur fémur p.	1,14-1,37	1,23-1,35	1,38-1,60	1,58-1,75

Tableau 3. Comparaison biométrique des exemplaires français femelles d'*Acrotylus*.

	<i>fischeri</i> (20 individus)	<i>insubricus</i> (27 individus)	<i>braudi</i> allotype	<i>braudi</i> X <i>patruelis</i> (?) (01 individu)	<i>patruelis</i> (10 individus)
corps mesuré à l'apex de l'abdomen (sec)	17,50-22,50	17,0-21,10	21,50	22,00	19,80-28,10
corps mesuré à l'apex des fémurs postérieurs	18,00-20,60	17,90-20,70	19,80	20,90	19,30-24,80
corps mesuré à l'apex des tegmina	20,80-23,80	22,30-24,90	25,40	26,50	26,10-31,70
écart fémur postérieur – tegmen	1,50-3,70	3,70-5,00	5,60	5,60	6,50-7,70
longueur des yeux	1,51-1,76	1,49-1,71	1,61	1,88	1,66-1,85
longueur du sillon sous-oculaire	1,37-1,73	1,29-1,54	1,34	1,24	1,15-1,34
largeur du vertex	0,90-1,07	0,89-1,18	0,83	0,88	0,77-0,93
Pronotum	3,25-4,90	2,95-3,80	3,14	3,20	2,94-3,37
Prozone	1,25-2,00	1,20-1,50	1,36	1,25	1,15-1,29
Métazone	1,95-2,90	1,75-2,30	1,78	1,95	1,75-2,11
longueur des tegmina	15,60-18,70	15,70-19,70	20,40	21,30	21,20-26,50
largeur des tegmina à l'apex du champ M	# 2,77-# 3,37	# 2,74-# 3,20	# 3,14	.	# 2,67-# 3,07
longueur des fémurs postérieurs	10,40-11,90	10,30-12,05	11,10	11,30	10,80-11,75
largeur maximale des fémurs postérieurs	3,10-3,60	3,00-3,55	2,81	.	2,57-2,97
longueur des fémurs moyens	3,65-4,65	4,00-4,70	4,05	4,30	4,20-4,60
extension anale de la bande alaire	Ndiv/An2- An9/12	Ndiv/An2- An10/12	Ndiv- An12	An2- An14	An2- An13/15
nombre de lobules alaires tachés	1 à 3	1 à 3	1	2 (presque 3)	1 à 4
rapport tegmen / (écart fémur p. – tegmen)	4,66-10,40	3,88-4,89	3,64	3,80	2,85-3,84
rapport fémur p. / (écart fémur p. – tegmen)	3,00-7,67	2,20-3,00	1,98	2,02	1,50-1,72
rapport œil / sillon sous-oculaire	1,02-1,20	1,05-1,19	1,20	1,52	1,38-1,49
rapport œil / vertex	1,44-1,81	1,37-1,76	1,94	2,14	1,99-2,31
rapport métazone / prozone	1,31-1,64	1,30-1,65	1,31	1,56	1,46-1,69
rapport longueur / largeur du tegmen	5,08-6,53	6,03-6,83	6,50	.	6,97-8,05
rapport tegmen / longueur du fémur postérieur	1,36-1,62	1,61-1,76	1,84	1,88	1,86-2,43
rapport tegmen / largeur du fémur postérieur	4,52-5,94	5,00-5,94	7,26	.	7,62-10,31
rapport longueur fémur p. / largeur fémur p.	3,09-3,68	3,03-3,60	3,95	.	3,93-4,26
rapport tegmen / pronotum	3,69-5,49	5,00-6,03	6,50	6,66	6,69-8,55
rapport longueur fémur p. / longueur fémur moyen	2,54-2,88	2,46-2,73	2,74	2,63	2,51-2,69
rapport longueur fémur moyen / largeur fémur p.	1,14-1,35	1,17-1,41	1,44	.	1,48-1,67

REFERENCES

- BRAUD Y., E. SARDET & D. MORIN, 2002 – Actualisation du catalogue des Orthoptéroïdes de Corse (France). *Matériaux Entomocénologiques*, **7** : 5-22.
- CHOPARD L., 1952 (1951) – *Faune de France* : 56, *Orthoptéroïdes*. Lechevalier, Paris, 359 p.
- DEFAUT B., 2004 – La distinction pratique d'*Acrotylus i. insubricus* et d'*Acrotylus fischeri* en France (Caelifera, Acrididae, Oedipodinae). *Matériaux Orthoptériques et Entomocénologiques*, Bédailhac (France), **9** : 21-35.
- KRUSEMAN, G., 1982 – Matériaux pour la faunistique des Orthoptères de France : 2, les Acridiens des musées de Paris et d'Amsterdam. *Verslagen en Technische Gegevens*. Instituut voor Taxonomische Zoölogie, Universiteit van Amsterdam, **36**, 134 p.
- LA GRECA M., 1990 – Il genere *Acrotylus* Fieb. (Insecta, Orthoptera, Acrididae) in Namibia, e riesame del grupo di specie *insubricus-fischeri-patruelis-somalienis*. *Animalia*, Genova, **17** : 153-188.
- SCHMIDT G. & R. LILGE, 1997 – *Geographische Verbreitung der Oedipodinae (Orthopteroidea, Caelifera, Acrididae) in Europa und Randgebieten, mit Hinweisen zur Ökologie und Biologie*. Verlag Dr. Kovac, Hamburg, 13 + 150 p.